

## AC Stark 이동이 선택적 공명 이온화에 미치는 영향

남 베일, 강 석찬, 김 영순  
(명지대학교 물리학과)

선택적 2광자공명 3광자 이온화과정을 Li 와 Sr 의 동위원소들에 적용시켰을 때, 공명준위의 AC Stark 이동으로 인하여 분리효율과 이온화율은 레이저 파장과 세기에 예민한 함수가 됨을 보이고 동위원소분리의 최적 조건을 검토하였다.

## 1. 서론

의학 및 농생물학에서 추적자로 이용되는 방사성 동위원소들이나 연쇄반응에 사용되는 핵연료를 제작하는데 있어서, 레이저를 사용하여 선택적 공명 이온화를 일으키면 경제적이고 효율적으로 동위원소를 분리할 수 있어 최근 많은 관심을 모이고 있다.

두 동위원소는, 각 에너지준위의 대응되는 쌍에 있어서 자연선풍, 다른 준위로의 전이형렬요소, 같은 레이저 강도에서의 ac Stark 이동 등 모든 원자적 파라미터의 차이를 무시할 수 있으며, 단지 준위에너지의 값만이 동위원소 이동만큼 달라져 광학적으로 공명 진동수에 약간의 차이를 보인다. 이 근소한 차이를 이용하여, 선택적으로 공명을 일으키고, 따라서 한 원소에 두 가지 동위원소가 섞여져 있는 시료로부터 한 가지 동위원소만을 선택적으로 이온화하여 분리해 내고자 하는 것이다. 이를 위해, 우리는 최상의 분리효율로 최대량의 순수한 동위원소 이온을 얻는 것을 목표로 삼는다. 동위원소 이동을  $\Delta_{1s}$  라 하고, 선택적 공명을 일으키고자 하는 준위에 대해 레이저가 정확한 공명으로부터  $\Delta$  만큼의 detuning 을 가지는 경우, 이온화를 원하지 않는 다른 동위원소의 준위에 대한 detuning 은  $\Delta' = \Delta \pm \Delta_{1s}$  가 된다. 동일한 상태에 대한 두 동위원소 준위 중 높은 준위에서 선택공명을 일으킬 경우 + 부호, 낮은 쪽을 택할 경우 - 부호가 적용된다.

각진동수  $\omega$  인 레이저를 빼서 여기에너지  $\hbar\omega_{21}$  인 준위  $|2\rangle$  에 선택적 2광자 공명을 일으키고자 하는 경우, 레이저와 원자들의 상호 작용 시간을  $t$  라 하면  $\Delta = 2\omega - \omega_{21} - 3\delta\omega_{21} \equiv \Delta_0 - 3\delta\omega_{21}$ .

여기서  $\Delta_0 = \frac{1}{1-\alpha} \Delta = 2\omega - \omega_{21}$  이고  $\delta\omega_{21}$  은

기저상태  $|1\rangle$  에 대한 여기된 준위  $|2\rangle$  의 상대적 ac Stark 이동으로 레이저의 세기  $I$  에 비례하고, 레이저세기의 요동(fluctuation)을 감안할 때 3배가 곱해진다. [1, 2] 따라서, 주어진 준위에서  $\Delta = \Delta(\omega, I)$  가 된다. 이온화비율을 각각  $P(\Delta, t)$ ,  $P(\Delta', t)$  라 하자.  $P$  는 일반적으로  $I$  가 세어짐에 따라 증가하며, 주어진  $I$  에서는  $\Delta=0$  일 때 극대가 된다. 따라서,  $P$  를 최대로 하기 위해서는  $I$  를 증가시켜야 하는데,  $\delta\omega_{21}$  을 무시할 수 없을 정

도로  $I$  가 크게되면,  $I$  에 비례하는 양인  $\delta\omega_{21}/2$  만큼  $\omega$  를  $\omega_0 = \omega_{21}/2$  으로부터 변화시켜야  $\Delta=0$ , 즉, 정확한 공명을 유지할 수 있게 된다.  $\omega_0$  는 낮은  $I$  에서의 선택적 2광자공명 각진동수로서  $\omega = \omega_0$  에서  $\Delta_0=0$ ,  $\Delta_0'=\Delta_{1s}$  가 된다. 그러나,  $I$  의 증가는 선택하지 않은 쪽의 동위원소 이온화 비율도 높여 주므로, 분리효율의 악화를 가져오리라 예상된다. 또한, 분리효율을 최적으로 하는  $\omega$  가 한 동위원소의 이온화비율  $P$  를 최대로 하는

$$\omega = \frac{\omega_{21} + 3\delta\omega_{21}}{2} \text{ 즉, } \Delta = 0 \text{ 인 경우와 일치}$$

하지 않을 가능성도 있다.

일반적으로  $\Delta_0' = \Delta_0 \pm \Delta_{1s}$  라 하고, 분리효율을

$$S(\Delta_0; I, t) \equiv \frac{P(\Delta_0'; I, t)}{P(\Delta_0; I, t)} \text{ 라고 정의하면 } S \text{ 가}$$

0에 가까울 수록 좋은 분리효율을 얻는 것이 된다.

$\Delta_{1s}$  가 비교적 큰  $Li^6$  와  $Li^7$  의 경우(12GHz) 최대의  $P$  와 최소의  $S$  를 동시에 얻는 것이 어렵지 않으나 Sr 의 경우(원자량 88과 90)  $5p^2 \ ^1S$  에서  $\Delta_{1s}$  는 불과 700 MHz 정도이며, 도플러효과 억제-2광자 공명성 3광자 이온화로 동위원소 분리에 성공한 실증이 보고되어 있다.[3] 이 경우  $S$  를 아주 좋게 만드는 것은 쉽지 않을 것이며,  $S$  와  $P$  는  $\omega$  의 예민한 함수가 되리라 기대된다. Li 와 Sr 의 경우 power broadening 과 레이저선풍(bandwidth) 이  $S$  와  $P$  에 미치는 영향은 [2] 에  $t$  의 함수로 보고되었으나, ac stark 이동의 영향은 언급된 바 없다. 본 연구에서는  $S(\Delta_0; I, t)$  와  $P(\Delta_0; I, t)$  를 몇개의 서로 다른  $I$  와  $t$  에 대해서  $\Delta_0$ , 즉,  $\omega$  의 함수로 계산하여, 동위원소 분리의 최적조건을 찾는 경우에 관련된 이론적 고찰을 수행하였다.

## 2. 이론

— 2광자 공명성 3광자 이온화과정의 밀도 행렬 수식화 계개 [2]

각진동수  $\omega$  인 단일 레이저에 의해 2광자 공명성 3광자 이온화를 일으킬 경우, 주어진 원자를 기저상태  $|1\rangle$ , 2광자 공명 여기상태  $|2\rangle$ , 중간상태  $|1k\rangle$  이온화 분지방 등으로 단순화시키면, 가장 일반적인 파동함수의 형태는

$$|\Psi(t)\rangle = a(t) e^{-i\omega_1 t} |1\rangle + b(t) e^{-i\omega_2 t} |2\rangle$$

이고 초기 조건이  $a(0)=1$ ,  $b(0)=0$  일 때, 주어진  $\omega$  및 I에 대해서 이온화 비율  $P(t)=1-|a(t)|^2+|b(t)|^2$  으로 주어진다. 여기서, 원자가 다른 준위에 존재할 확률은 무시하였다.

확률 밀도 행렬은  $\rho=|\Psi\rangle\langle\Psi|$ 로 정의되어

$$\text{ih} \frac{\partial \rho}{\partial t} = [H_0 + H'(t), \rho] \text{를 만족한다. 그 행렬}$$

요소들은 다음과 같고, 아울러 시간에 대해 느리게 변하는  $\sigma$  행렬을 정의하면,

$$\rho_{11} = |a|^2 = \sigma_{11}$$

$$\rho_{22} = |b|^2 = \sigma_{22}$$

$$\rho_{12} = \rho_{21}^* = a b^* e^{i\omega_2 t} \equiv \sigma_{12}(t) e^{i\omega_2 t} \quad (1)$$

즉,  $\sigma_{12}(t) = a b^* e^{-i\Delta_0 t}$ 이다. 편광 방향이  $\hat{e}$ 인 레이저의 전장을

$\vec{E}(t) = \hat{e} [\epsilon(t) e^{i\omega_1 t} + \epsilon^*(t) e^{-i\omega_1 t}]$ 라고 쓰면, 레이저와 원자간의 상호작용은 쌍극자 근사에서  $H'(t) = -\vec{\mu} \cdot \vec{E}(t)$ 가 되어,

$$\begin{aligned} \frac{d}{dt} \langle \sigma_{11}(t) \rangle &= \Gamma_2 \sigma_{22}(t) \\ &\quad + 2\text{Im}[\mu_{12}^* \langle \sigma_{12}(t) [\epsilon^*(t)]^2 \rangle] \end{aligned}$$

$$\begin{aligned} \frac{d}{dt} \langle \sigma_{22}(t) \rangle &= -(\Gamma_2 + \gamma_2) \langle \sigma_{22}(t) \rangle \\ &\quad - 2\text{Im}[\mu_{12}^* \langle \sigma_{12}(t) [\epsilon^*(t)]^2 \rangle] \end{aligned}$$

$$\begin{aligned} \frac{d}{dt} + i\Delta + \frac{1}{2}(\Gamma_2 + 3\gamma_2 + 2\gamma_L) \langle \sigma_{12}(t) [\epsilon^*(t)]^2 \rangle \\ = 1\mu_{12} 2\text{Im}[\langle \sigma_{22}(t) \rangle - \langle \sigma_{11}(t) \rangle] \quad (2) \end{aligned}$$

$\Gamma_2$ 는  $|2\rangle$ 의 자발적 방출에 의한 밀도 감소율로 이는 중간상태들을 거쳐 결국  $|1\rangle$ 의 밀도를 증가시킨다.  $\gamma_2$ 는  $|2\rangle$ 의 1광자 이온화 비율로 I에 비례하고,  $\mu_{12}$ 는  $|1\rangle$ 과  $|2\rangle$  사이의 2광자 천이행렬요소이다. Transverse relaxation time은 낮은 증기압을 가정하여 고려에 넣지 않았다. 레이저의 선폭과 요동을 무시할 수 있다면  $\Gamma_2 + 3\gamma_2 + 2\gamma_L$  대신  $\Gamma_2 + \gamma_2$ 를,  $2\text{Im}[\epsilon^*]^2$  대신에  $|\epsilon|^4$ ,  $\Delta = 2\omega - \omega_{21} - \delta\omega_{21}$ 을 각각 사용한다. t의 함수로 나타난 모든 양들의 요동에 대한 시간적 평균을  $\langle \rangle$ 로 표시했다. 결국, 시간 t 동안 레이저가 작용했을 때 이온화된 원자들의 비율, 즉, 이온화비율은

$$P(t) = 1 - \langle \sigma_{11}(t) \rangle - \langle \sigma_{22}(t) \rangle \quad (3)$$

여기서는  $\langle \sigma_{11}(t) \rangle + \langle \sigma_{22}(t) \rangle = 1$ 이 성립하는 단순화된 2준위계에서와는 달리,

$$\frac{d}{dt} (\langle \sigma_{11} \rangle + \langle \sigma_{22} \rangle) = -\gamma_2 \langle \sigma_{22} \rangle \text{가 성립하게 된다.}$$

## 2.2 준정상해 (準定常解)와 그 적용 범위

$\langle \sigma_{22}(t) \rangle - \langle \sigma_{11}(t) \rangle \equiv n(t)$ ,  $\Gamma_2 + 3\gamma_2 + 2\gamma_L \equiv \gamma$ 라고 간단히 쓰자. (2)식들 중 마지막 식은

$$\begin{aligned} \left[ \frac{d}{dt} + i\Delta + \frac{1}{2}\gamma \right] \langle \sigma_{12}(t) [\epsilon^*(t)]^2 \rangle \\ = 1\mu_{12} 2\text{Im}[\epsilon^*]^4 n(t) \quad (4) \end{aligned}$$

$n(t)$ 의 시간적 변화를 거의 무시할 수 있는 경우, (4)식을 적분하고  $\gamma t \rightarrow \infty$ 인 극한을 취하면

$$\sigma_{12}(t) \langle \epsilon^*(t) \rangle^2 = 2\mu_{12} |\epsilon|^4 \frac{\Delta + 1\frac{1}{2}\gamma}{\Delta^2 + \frac{1}{4}\gamma^2} n(t) \quad (5)$$

가 되고, 이를 (2)의 처음 두 식에 대입,

$$W = 4\mu_{12} |\epsilon|^4 \frac{\frac{1}{2}\gamma}{\Delta^2 + \frac{1}{4}\gamma^2} \text{라 정의하면}$$

Laplace 변환과 초기조건  $\langle \sigma_{11}(0) \rangle = 1$ ,  $\langle \sigma_{22}(0) \rangle = \langle \sigma_{12}(0) \rangle = 0$ 로부터

$$\begin{aligned} \langle \sigma_{11}(t) \rangle &= A e^{S_1 t} + (1-A) e^{S_2 t} \\ \langle \sigma_{22}(t) \rangle &= \frac{W}{S_1 - S_2} (e^{S_1 t} - e^{S_2 t}) \quad (6) \end{aligned}$$

인 형태의 준정상해를 얻으며, 이때,

$$\begin{aligned} S_{1,2} &= (2W + \Gamma_2 + \gamma_2) \times \\ &\quad \left[ -1 \pm \left[ 1 - \frac{4\gamma_2 W}{(2W + \Gamma_2 + \gamma_2)^2} \right]^{\frac{1}{2}} \right], \\ A &\equiv -\frac{S_1 + W + \Gamma_2 + \gamma_2}{S_1 - S_2} \quad (7) \end{aligned}$$

가 된다.

위에서 얻은 준정상해 (6)의 적용 범위는

$\frac{\partial}{\partial t} n(t)$ 을 무시할 수 있는 경우로 다음 조건 중 하나와  $\gamma t \gg 1$  만족하면 된다. [2]

$$(i) W \ll \gamma_2$$

$$(ii) W \gg \Gamma_2 + \gamma_2 + \gamma_L \quad (8)$$

## 3. ac Stark 이동에 의한 영향

Li 4s의 경우, ac Stark 이동을 계산하여  $\delta\omega_{21} = 102.7 \text{ I (Hz)}$ 을 얻었다. <그림 1,2>에서 보는 바와 같이,  $\Delta_{1s}$ 가 비교적 큰 Li의 경우에는, ac Stark 이동이 공명 진동수를 이동시키는 역할만 하여, S의 최저점과 P의 최대점은 같은 방향으로 이동시키므로, 레이저의 공명 진동수를 조절함으로써 좋은 분리효율과 높은 이온화율을 동시에 얻기가 용이함을 알 수 있다. 그러나 Sr의 경우에는 우리가 계산한 ac Stark 이동  $\delta\omega_{21} = -6.212 \text{ I (Hz)}$ 에 의해서 P의 최대점은 I의 증가에 따라 낮은 주파수 쪽으로 이동하는데, S의 최저점은 <그림 4>에서는 P와 반대 방향으로, <그림 3>에서는 P와 같은 방향으로 이동함을 볼 수 있다.

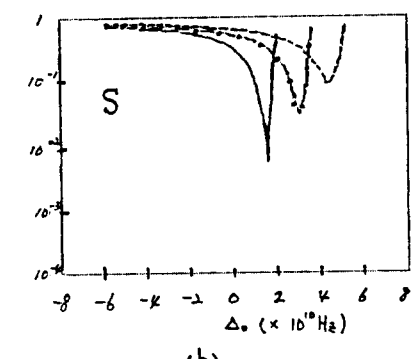
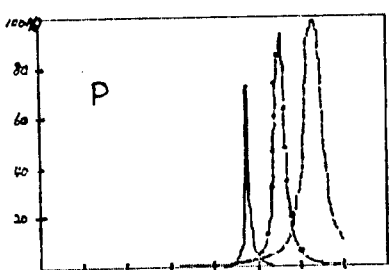
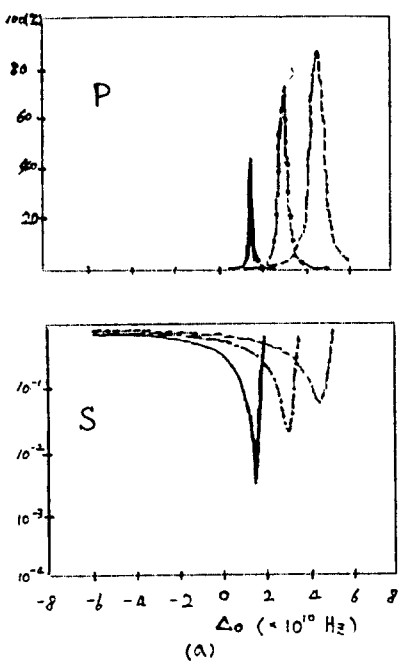


그림 1.  $\text{Li}^7$ 과  $\text{Li}^8$ 의 분리효율(S) 및 이온화율(P)  
(두 동위원소준위중 보다 낮은 준위에 공명을 일  
으키는 경우). ①—(I=5×10<sup>7</sup> W/cm<sup>2</sup>),  $\gamma_L=50\text{ MHz}$ ,  
②---(I=1×10<sup>8</sup> W/cm<sup>2</sup>), ③---(I=1.5×10<sup>8</sup> W/cm<sup>2</sup>)

(a) t=10 ns인 경우, (b) t=20 ns인 경우.

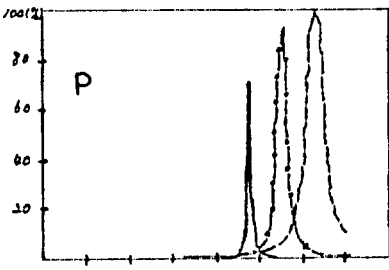
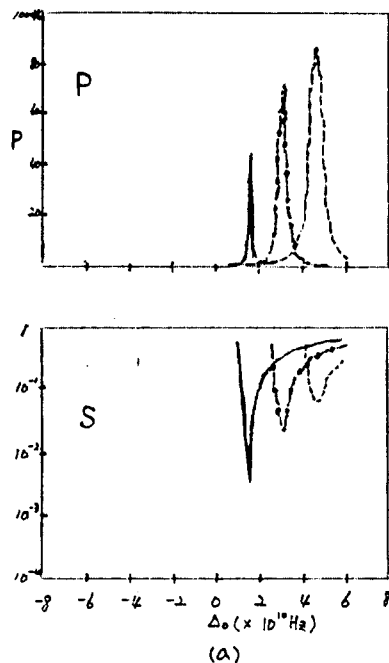
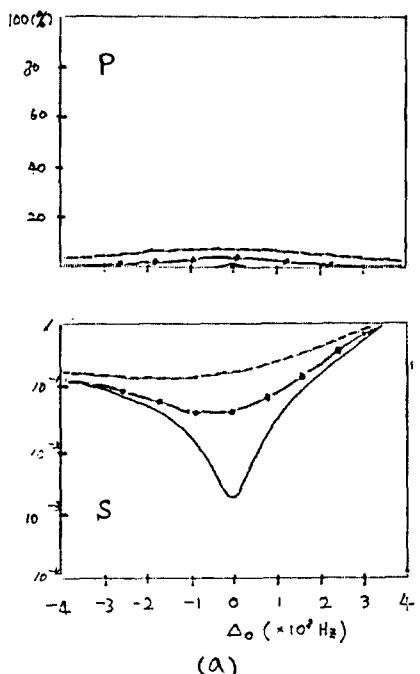
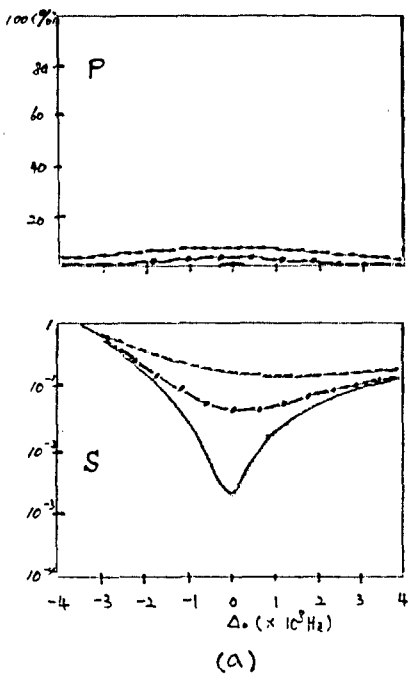


그림 2.  $\text{Li}^7$ 과  $\text{Li}^8$ 의 분리효율(S) 및 이온화율(P)  
(두 동위원소준위중 보다 높은 준위에 공명을 일  
으키는 경우). ①—(I=5×10<sup>7</sup> W/cm<sup>2</sup>),  $\gamma_L=50\text{ MHz}$ ,  
②---(I=1×10<sup>8</sup> W/cm<sup>2</sup>), ③---(I=1.5×10<sup>8</sup> W/cm<sup>2</sup>)

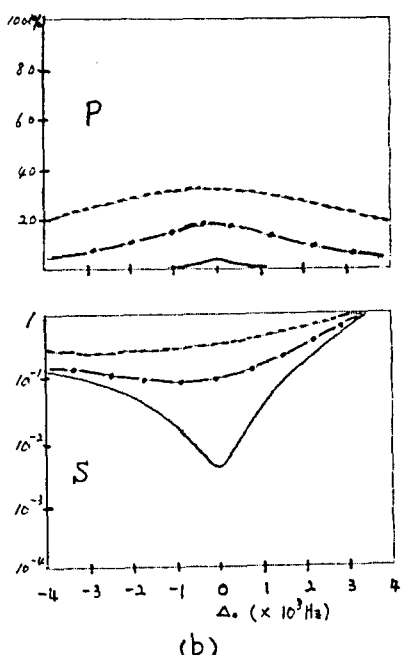
(a) t=10 ns인 경우, (b) t=20 ns인 경우.



(a)



(a)



(b)

그림3. Sr<sup>88</sup>와 Sr<sup>90</sup>의 분리효율(S) 및 이온화율(P)  
(두 동위원소준위중 보다 낮은 준위에 공명을 일  
으키는 경우). ① — (I=1×10<sup>5</sup> W/cm<sup>2</sup>), γ<sub>L</sub>=7 MHz,  
② -·-(I=5×10<sup>5</sup> W/cm<sup>2</sup>), ③ ---(I=1×10<sup>6</sup> W/cm<sup>2</sup>).  
(a) t=100 ns인 경우, (b) t=500 ns인 경우.

그림4. Sr<sup>88</sup>와 Sr<sup>90</sup>의 분리효율(S) 및 이온화율(P)  
(두 동위원소준위중 보다 높은 준위에 공명을 일  
으키는 경우). ① — (I=1×10<sup>5</sup> W/cm<sup>2</sup>), γ<sub>L</sub>=7 MHz,  
② -·-(I=5×10<sup>5</sup> W/cm<sup>2</sup>), ③ ---(I=1×10<sup>6</sup> W/cm<sup>2</sup>).  
(a) t=100 ns인 경우, (b) t=500 ns인 경우.

결론적으로, Sr 과 같이 동위원소이동이 작은 경우에는 S 의 회전과 P 의 회전은 일반적으로 다른  $\omega$ 에서 일어나지만,  $\delta\omega_{21} < 0$  일 때는 <그림 3>과 같은 경우, 즉, 낮은 동위원소 준위에 선택적 공명을 일으키는 경우가 높은 P 와 좋은 S 를 동시에 추구하는데 더 적합함을 알 수 있다.

본 연구는 한국과학재단의 지원하에 수행하였다.

#### 참 고 문 헌

- [1] P. Agostini, A. T. Georges, S. E. Wheatly, P. Lambropoulos, and M. D. Levenson, J.Phys. B **11**, 1733 (1978).
- [2] B. Dai and P. Lambropoulos, Phys.Rev.A **34**, 3955 (1986).
- [3] T. B. Lucatorto, C. W. Clark, and J. L. Moore, Opt. Commun., **48**, 406 (1984).